

МОДЕЛИРОВАНИЕ АНИЗОТРОПНОГО ШУМА НА ВЕКТОРНО-СКАЛЯРНЫХ ПРИЕМНИКАХ

© 2007 г. О.Е. Шимко,
рук. Г.М. Глебова

В настоящее время в гидрофизике для оценки параметров грунта и поиска полезных ископаемых широко используются буксируемые антенны, состоящие не только из скалярных, но и из векторных приемных элементов [1]. Для анализа разрешающей способности векторно-скалярных антенн необходимо использовать модель помех, на фоне которых производится обработка полезного сигнала. Основной вклад в шумовую помеху вносят распределенные по поверхности моря шумы и кильватерный след от судна-буксировщика. К сожалению, в литературе практически отсутствуют как теоретические, так и экспериментальные данные о частотных и пространственных характеристиках этих видов помех. В данной работе предпринимается попытка получить спектрально-корреляционные матрицы помех от распределенных на поверхности шумов моря путем численного моделирования для различной модели распространения сигналов от источников излучения к приемным элементам. Для проверки корректности результатов проведенного моделирования использовалось сравнение с известными теоретическими и экспериментальными данными для одиночного векторно-скалярного приемника [2,3].

Как известно шум от взволнованной морской поверхности генерируется элементарными некоррелированными источниками и излучающими с амплитудной диаграммой $\cos^n \theta$.

Если приемная антенна состоит из M векторно-скалярных модулей, каждый из которых представляет собой приемник давления и три ортогональных приемника колебательной скорости, то размерность вектора U равна $\mu = 4 \cdot M$. Вектор U можно представить в виде:

$$U_k(p, V) = \begin{cases} p_k, & k = m, \\ V_{kx}, & k = M + m, \\ V_{ky}, & k = 2 \cdot M + m, \\ V_{kz}, & k = 3 \cdot M + m \end{cases}, \quad \begin{matrix} m = 1, \dots, M, \\ k = 1, \dots, 4 \cdot M, \end{matrix} \quad (1)$$

Для гауссовых сигналов и шумов с нулевым математическим ожиданием статистика измерений полностью определяется матрицей ковариаций для вектора U , соответствующего фиксированной частоте, имеет размерность $\mu \cdot \mu$ и записывается в виде:

$$K = \langle U \cdot U^* \rangle, \quad (2)$$

Представим матрицу (2) в блочном виде, в которой размер каждого блока равен $M \times M$.

$\langle PP^* \rangle$ (1)	$\langle PV_x \rangle$	$\langle PV_y \rangle$	$\langle PV_z \rangle$ (5)	(3)
$\langle V_x P \rangle$	$\langle V_x V_x^* \rangle$ (2)	$\langle V_x V_y \rangle$	$\langle V_x V_z \rangle$	
$\langle V_y P \rangle$	$\langle V_y V_x \rangle$	$\langle V_y V_y^* \rangle$ (3)	$\langle V_y V_z \rangle$	
$\langle V_z P \rangle$	$\langle V_z V_x \rangle$	$\langle V_z V_y \rangle$	$\langle V_z V_z^* \rangle$ (4)	

Для одиночного приемного элемента геометрическая схема измерений представлена на рис.1. В волноводе глубиной H на глубине h находится приемный элемент, на который поступает совокупность сигналов от локальных источников, находящихся на поверхности моря.

В цилиндрической системе координат положение точки определяется тремя величинами R, φ, z (для источников шума $z = 0$). Считаем, что поверхностные источники, издающие шум, независимы друг от друга и имеют одинаковую амплитуду A и начальную фазу, равномерно распределенную в интервале значений $[0, 2\pi]$, изменяющуюся случайным образом для каждой последующей временной выборки. Звуковое давление при однолучевом распространении сигнала, создаваемое в точке наблюдения на m -том приемном элементе единичным источником, записывается в виде

$$P_m = A[\exp(jkr_m) / r_m] \cos^n \theta \quad (4)$$

а при многолучевом распространении в виде:

$$P_m = \sum_i A_i[\exp(jkr_{mi}) / r_{mi}] \cos^n \theta_i, \quad (5)$$

где i – число лучей, приходящих в точку приема по различным путям.

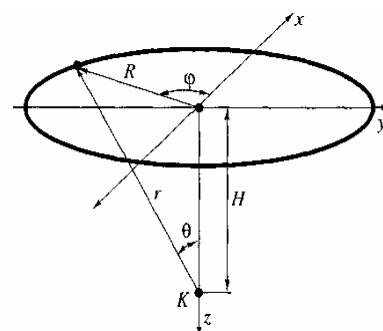


Рис.1. Геометрическая схема измерений на одиночном векторно-скалярном приемнике

Экспериментальные данные дают основание полагать $n \sim 1$ (то есть излучающие источники представляют собой диполи).

Выражая колебательную скорость частиц среды в эквивалентных единицах звукового давления путем формального домножения значений колебательной скорости на импеданс среды ρc , при $kH > 3$ для однолучевого распространения [1]:

$$\begin{aligned} P_m &= A \exp(jkr_m) \cos \theta / r_m; \\ V_{mx} &= P_m \cos \varphi \sin \theta; \quad V_{my} = P_m \sin \varphi \sin \theta; \\ V_{mz} &= P_m \cos \theta \end{aligned} \quad (6)$$

и для многолучевого:

$$\begin{aligned} P_m &= \sum_i A_i \exp(jkr_{mi}) \cos \theta / r_{mi}; \\ V_{mx} &= P_m \sum_i \cos \varphi_i \sin \theta_i; \quad V_{my} = P_m \sum_i \sin \varphi_i \sin \theta_i; \\ V_{mz} &= P_m \sum_i \cos \theta_i \end{aligned} \quad (7)$$

Аналогично схеме на рис.1 для одного приемного модуля, на рис.2 представлена схема приема сигнала на многоканальную антенну, приемные модули которой расположены случайным образом в окружности, радиусом ρ .

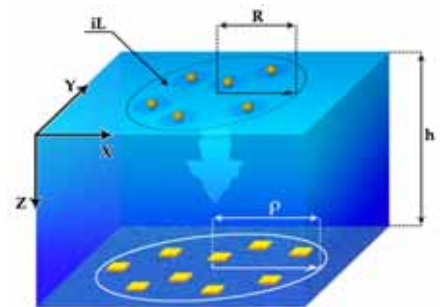


Рис.2. Приемная система

Как известно, при однолучевом распространении на горизонтальной скалярной антенне определяет однопараметрическое семейство матриц пространственной когерентности шумов моря (модель Крона-Шермана) $K_n(r_{ij})$, $n \geq 0$, хорошо согласующееся с экспериментальными данными. Так для горизонтальной решетки элементы спектрально-корреляционной матрицы шумов моря $K_n(r_{ij})$ имеют вид

$$\left(K_n(r_{ij}) \right)_{ij} = \frac{2^n \cdot n!}{\left[2\pi f \frac{r_{ij}}{c} \right]^n} J_n \left[2\pi f \frac{r_{ij}}{c} \right] \quad (8),$$

где J_n - функция Бесселя n -ого порядка, c - скорость звука, r_{ij} - расстояние между i -ым и j -ым приемным модулями.

Естественно, что результаты расчетов будут сильно зависеть от числа случайных источников, создающих пространственный шум и от размера поверхности, по которой разбросаны источники. Поэтому сначала был проведен анализ, позволяющий выбрать сочетание источников и размера поверхности, при котором точность и длительность расчета оптимальны. На рис.3 можно увидеть зависимости $\langle V_x V_x^* \rangle$, $\langle V_y V_y^* \rangle$ и $\langle V_z V_z^* \rangle$ от радиуса поверхности, по которой распределяются источники. После анализа зависимостей можно сделать вывод, что наибольшего совпадения с теоретическими расчетами можно достичь путем увеличения плотности источников, распределенных по рассматриваемой поверхности. В дальнейшем для расчетов в рассматриваемом диапазоне частот было выбрано 200000 источников, которые распределены по поверхности радиусом $R = 1000$ м.

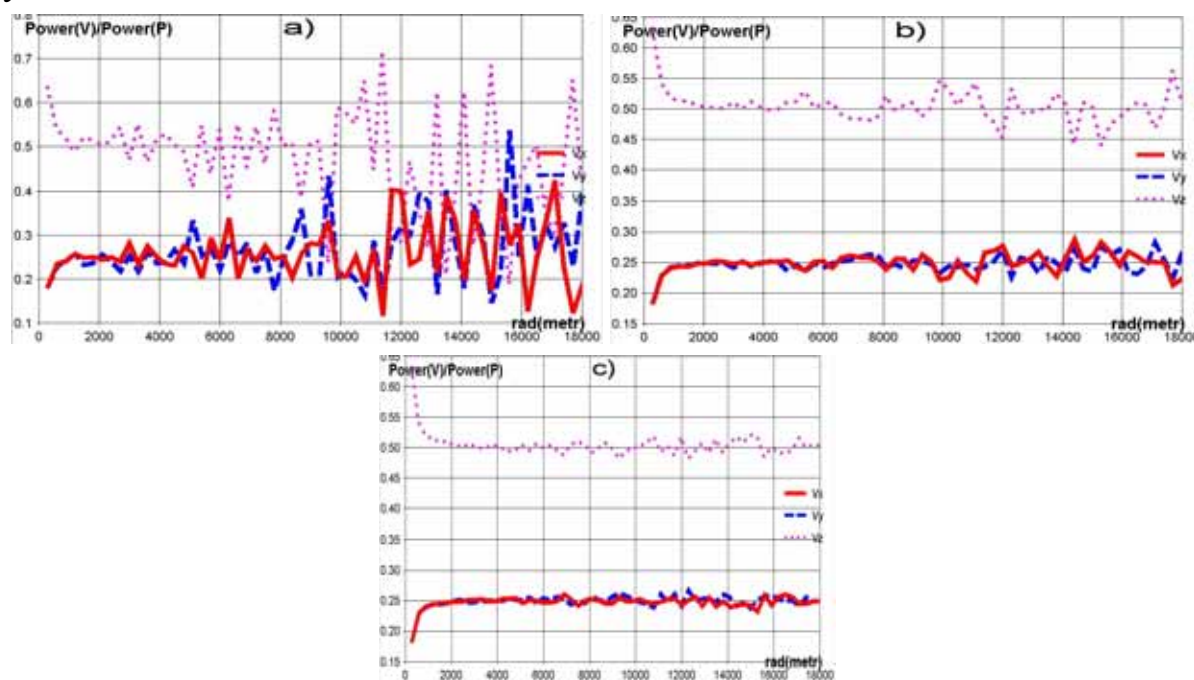


Рис.3. Зависимость ковариационных мощностей от радиуса разброса при количестве случайных шумящих источников, равном 10000 (а), 200000 (б) и 1000000 (с)

В качестве проверки корректности расчетов рассмотрена нормированная корреляционная матрица на одиночном четырехкомпонентном модуле, которая имеет вид:

$$K = \begin{pmatrix} 1.0000 & 0.0053 & 0.0033 & 0.6836 \\ 0.0053 & 0.2435 & 0.0000 & 0.0050 \\ 0.0033 & 0.0000 & 0.2421 & 0.0029 \\ 0.6836 & 0.0050 & 0.0029 & 0.5144 \end{pmatrix}$$

Полученные значения диагональных элементов матрицы соответствуют теоретическим для выбранных условий распространения и модели шумящей поверхности, т.е. выполняется условие

$$\langle PP^* \rangle = 4 \langle V_x V_x^* \rangle = 4 \langle V_y V_y^* \rangle = 2 \langle V_z V_z^* \rangle.$$

Отметим также, что корреляция между P и V_x, V_y практически отсутствует, в то время как между V_z и P она достаточно существенна и равна 0.68. Поэтому в дальнейшем были рассмотрены зависимости корреляционной функции между V_z и P .

Путем моделирования была рассчитана пространственная корреляционная матрица шумов (2,3) как на скалярных, так и на векторных приемниках для однолучевой и многолучевой модели распространения сигнала в волноводе и для совокупности приемных модулей случайным образом распределенных в пределах окружности $\rho = 3\text{мм}$.

Корреляционная зависимость от расстояний между приемными модулями рассчитывалась путём осреднения значений функции для пар приемников, попавших в заданный интервал. Расстояние между приемными модулями также находилось путем осреднения всех расстояний, попавший на данный интервал. В результате этой работы были получены следующие зависимости, изображенные на рис.4.

Как видно из рис.4 смоделированная корреляционная функция $\langle PP^* \rangle$ совпадает с хорошо известной теоретической зависимостью (8), что косвенно подтверждает правильность моделирования.

Отметим также, что корреляционная функция для горизонтальных компонент V_x и V_y практически совпадает. Период корреляционной функции по давлению и по горизонтальным компонентам одинаков, однако значения корреляционной функции в первых двух максимумах для горизонтальных компонент V_x и V_y выше, чем для давления. Корреляция по V_z убывает значительно быстрее, чем по V_x и V_y . В силу того, что V_z и P достаточно сильно коррелируют $\langle V_z V_z^* \rangle \approx \langle P V_z \rangle$.

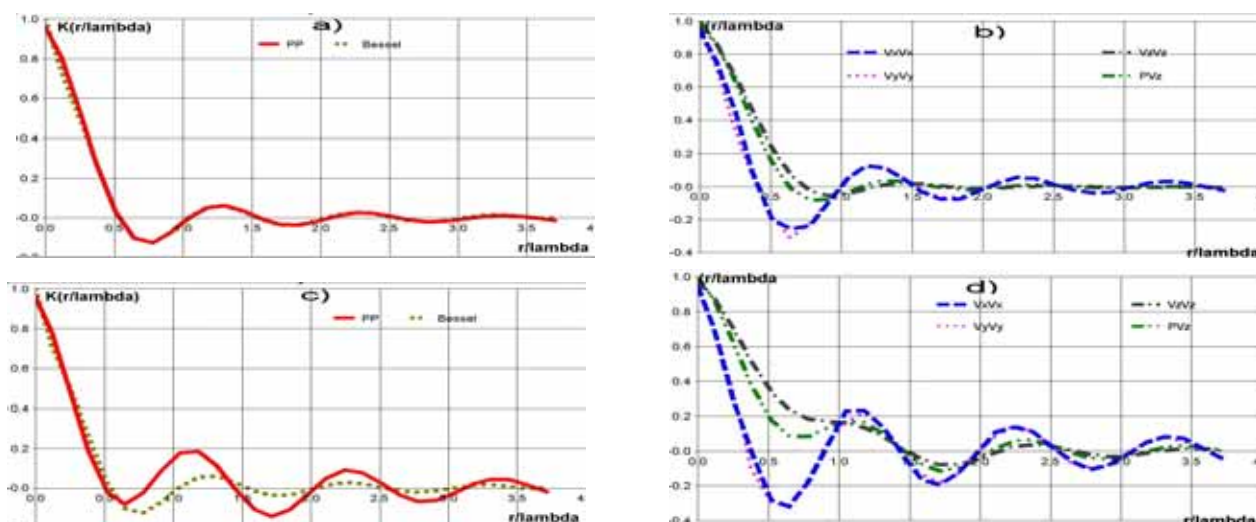


Рис. 4. Зависимость корреляционной функции от нормированного межэлементного расстояния r_{ij} / λ ; а),с) - для давления и для аналогичной теоретической зависимости, рассчитанной по формуле (8); б),д) - для компонент колебательной скорости V_x, V_y, V_z , а также зависимость между V_z и P ; а),б) – для однолучевого распространения; с),д) – для многолучевого

Методический подход, заложенный в алгоритме, позволяет менять свойства алгоритма и, следовательно, произвести его оптимизацию. В результате обработки согласно алгоритму модельных сигналов показано, что воздействие моделируемого анизотропного шума приближено к реальному при определенных параметрах модели, что в дальнейшем можно использовать для моделирования более сложных ситуаций и согласно этому создавать алгоритмы обработки сигнала с учетом анизотропного шума.

Литература

1. Гордиенко В.А., Илюшин Я.А. О флуктуациях угла пеленга сосредоточенного источника, определяемого векторным приемником в поле шумов океана // Акуст. журн. 1996. Т. 42. № 1. С. 2–8.
2. Гордиенко В.А., Ильичев В.И. Одиночный приемник потока акустической мощности как эквивалент пространственной антенной решетки // Докл. РАН, 1994. Т.339, № 5. С. 1–4.
3. Гордиенко В.А., Ильичев В.И., Илюшин Я.А. Об особенностях определения направления прихода слабых сигналов в поле шумов океана одиночным векторным приемником // Докл. РАН. 1994. Т.339, № 6. С.1–4.